

# Сверхпроводящий триплетный спиновый клапан

Письма в ЖЭТФ **91**, 329 (2010) [JETP Letters **91**, 308 (2010)]  
arXiv:1002.2113

**Я. Фоминов,<sup>1</sup> А. Голубов,<sup>2</sup> Т. Карминская,<sup>3</sup> М. Куприянов,<sup>3</sup>  
Р. Дёминов,<sup>4</sup> Л. Тагиров<sup>4</sup>**

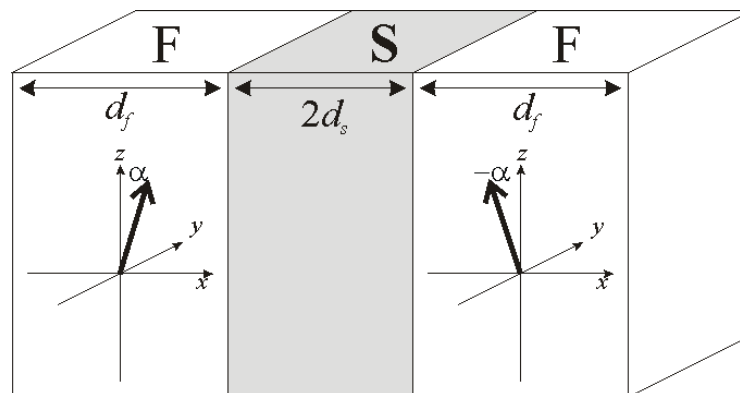
<sup>1</sup> *ИТФ им. Ландау*

<sup>2</sup> *University of Twente, The Netherlands*

<sup>3</sup> *НИИЯФ МГУ*

<sup>4</sup> *КГУ*

# Введение



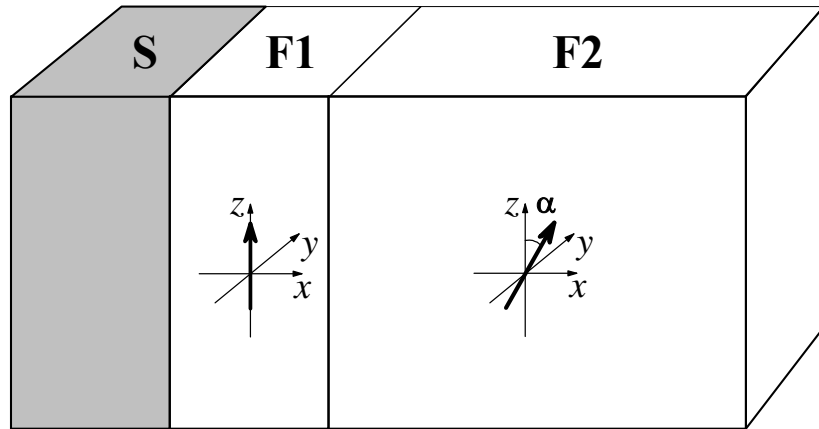
## Теория:

- $T_c^P < T_c^{AP}$  (компенсация обменных полей при AP ориентации), поэтому обычный эффект переключения:  $\Delta T_c = T_c^{AP} - T_c^P > 0$   
- **сверхпроводящий спиновый клапан** [Tagirov (1999); Buzdin, Vedyayev, Ryzhanova (1999)]
- Дальнодействующие триплетные сверхпроводящие корреляции при неколлинеарных ориентациях  
( $k_h = \sqrt{h/D} \gg k_\omega = \sqrt{2\omega/D}$  – «короткие» и «длинные» корреляции)  
[Bergetet, Volkov, Efetov (2001)]
- $T_c(\alpha)$  при всех  $\alpha$ ; монотонная зависимость [Fominov, Golubov, Kupriyanov (2003)]

## Эксперимент:

- От  $\Delta T_c \approx 3$  mK [Gu et al. (2002)] до максимального  $\Delta T_c \approx 41$  mK [Moraru et al. (2006)]
- Иногда  $\Delta T_c < 0$  – обратный эффект переключения

# Мотивация



## Теория:

Просто другой порядок слоёв, качественно всё то же, что и в FSF [Oh, Youm, Beasley (1997)]

## Эксперимент:

Максимальное  $\Delta T_c(\alpha) \approx 200$  mK

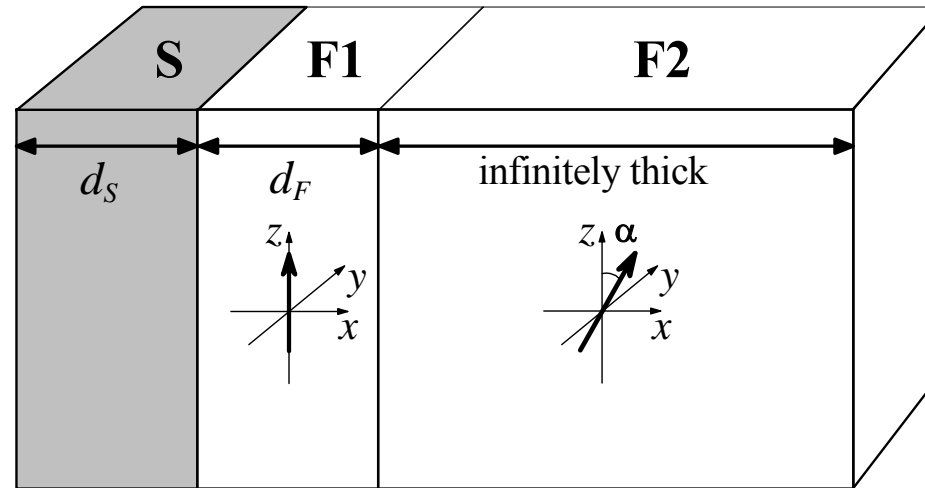
[Nowak et al. (2008)]

– гораздо больше, чем в FSF

## Вопросы:

- Свидетельствуют ли экспериментальные данные о новом качественном эффекте?
- Эффект «ширмы» при  $k_h^{-1} \ll d_{F1} \ll k_\omega^{-1}$  ?
- Немонотонная зависимость  $T_c(\alpha)$  ?

# Постановка задачи



- Прозрачные границы (непрерывность функции Грина)
- Одинаковые коэффициенты диффузии разных слоёв (непрерывность производной функции Грина)
- Бесконечно толстый слой F2
- $h \ll E_F$

# Уравнения

$$\frac{D d^2 \check{f}}{2 dx^2} - |\omega| \check{f} - \frac{i \operatorname{sgn} \omega}{2} \{ \hat{\tau}_0(\mathbf{h} \hat{\sigma}), \check{f} \} + \Delta \hat{\tau}_1 \hat{\sigma}_0 = 0$$

Характерные волновые векторы:  $k_h = \sqrt{h/D}$ ,  $k_\omega = \sqrt{2\omega/D}$

$$\check{f} = \hat{\tau}_1 (f_0 \hat{\sigma}_0 + f_3 \hat{\sigma}_3 + f_2 \hat{\sigma}_2)$$

- матрица 4×4 в пространстве Намбу-Горьков  $\otimes$  спин

$\hat{\tau}$  - матрицы Паули в пространстве Намбу-Горькова

$\hat{\sigma}$  - матрицы Паули в спиновом пространстве

Симметрии, волновые векторы в F:

$f_0(-\omega) = f_0(\omega),$	$(1 + i)k_h$	- синглет
$f_3(-\omega) = -f_3(\omega),$	$(1 + i)k_h$	- триплет с проекцией 0
$f_2(-\omega) = -f_2(\omega),$	$k_\omega$	- триплет с проекциями $\pm 1$

# Эффективная задача

В явном виде можно найти всё кроме компоненты  $f_0(x)$  в  $S$  - именно она самосогласованно зацеплена за  $\Delta(x)$ .

В результате эффективно получается задача на  $f_0(x)$ :

$$\Delta \ln \frac{T_c S}{T_c} = 2\pi T_c \sum_{\omega > 0} \left( \frac{\Delta}{\omega} - f_0 \right)$$
$$\frac{D}{2} \frac{d^2 f_0}{dx^2} - \omega f_0 + \Delta = 0,$$
$$\frac{df_0}{dx} = 0 \Big|_{x=-d_S}, \quad -\xi \frac{df_0}{dx} = W f_0 \Big|_{x=0}.$$

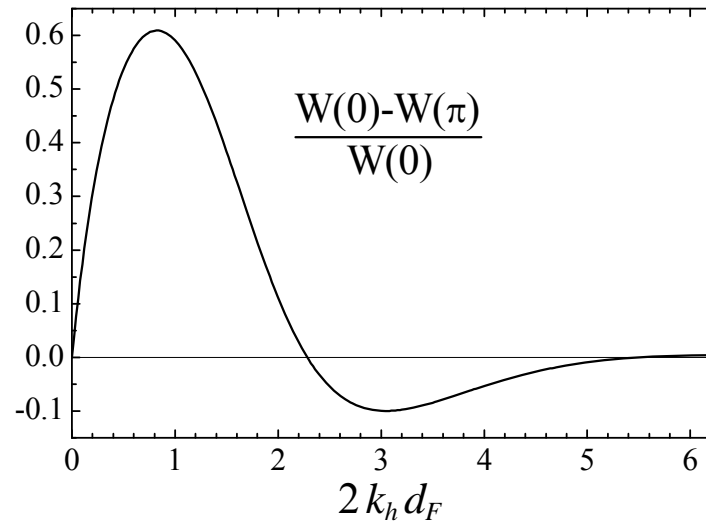
Чем больше  $W$ , тем меньше  $T_c$ .

Дальше: аналитика при  $k_\omega \ll k_h$ , численно – при произвольном соотношении.

# Обычное и обратное переключение

$$W(0) = 2k_h\xi$$

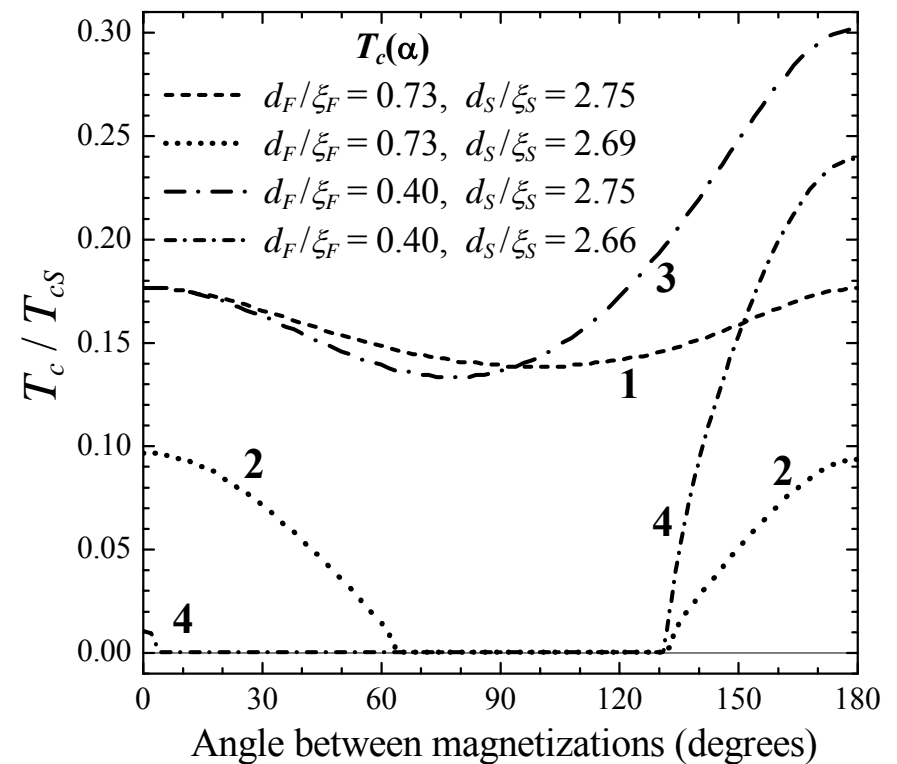
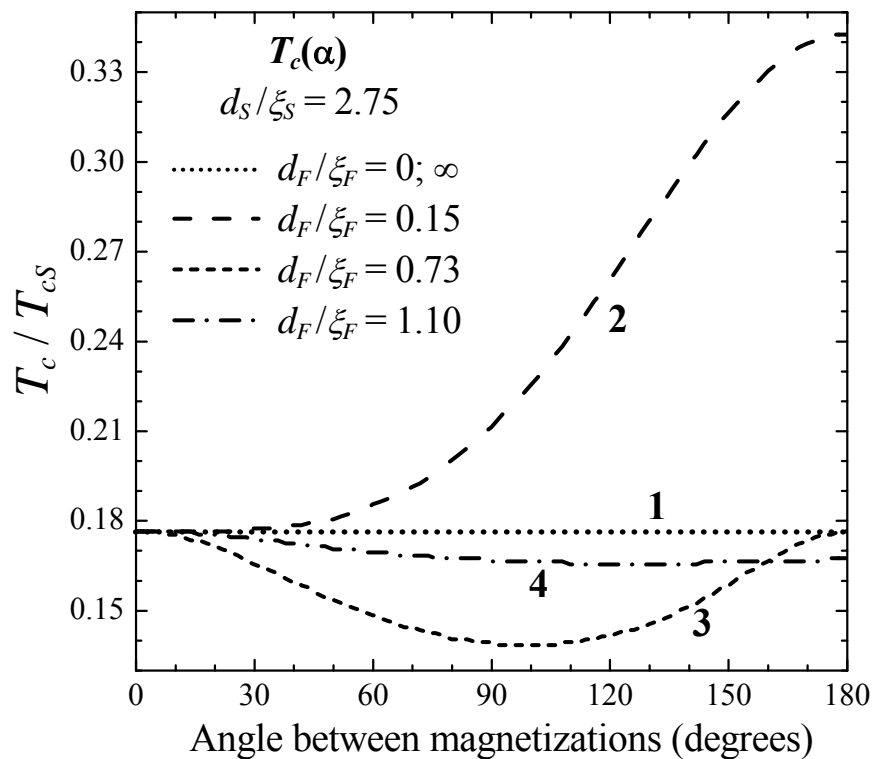
$$W(0) - W(\pi) = 2k_h\xi \frac{\sqrt{2} \sin(2k_h d_F + \pi/4) - e^{-2k_h d_F}}{\sinh(2k_h d_F) + \cos(2k_h d_F)}$$



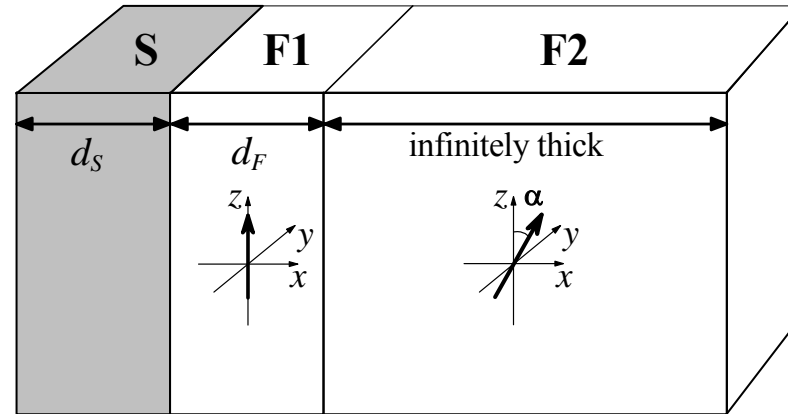
Возможно как обычное ( $T_c^P < T_c^{AP}$ ), так и обратное переключение ( $T_c^P > T_c^{AP}$ )

# Триплетный спиновый клапан

$W(\alpha)$  возрастает при отклонении  $\alpha$  от 0 и  $\pi$  (аналитика при  $k_\omega \ll k_h$ ),  
поэтому  $T_c(\alpha)$  имеет минимум при некоторой неколлинеарной ориентации



# Результаты при больших $d_F$



$$f_2 \propto e^{-k_\omega d_F - k_h d_F}$$

$$W(\alpha) - W(0) \propto e^{-2k_h d_F}$$

- показатель экспоненты не содержит малого  $k_\omega$ , т.к.  $T_c$  определяется уравнением согласования, которое содержит только короткодействующую синглетную компоненту

# Выводы

- В системе SFF возможно как обычное ( $T_c^P < T_c^{AP}$ ), так и обратное переключение ( $T_c^P > T_c^{AP}$ )
- Минимум  $T_c(\boldsymbol{a})$  достигается при неколлинеарной ориентации, отсюда возможность реализации триплетного спинового клапана
- Экспериментальное обнаружение немонотонной или возвратной зависимости  $T_c(\boldsymbol{a})$  можно считать признаком наличия в системе дальнодействующих триплетных сверхпроводящих корреляций

# Занац

$$\begin{pmatrix} 0 & 1 & -1 & 0 & 0 & 0 & 0 & 0 & 0 & 0 & 0 & 0 \\ 0 & 1 & 1 & 0 & 0 & 0 & 0 & 0 & 0 & -1 & 0 & 0 \\ 1 & 0 & 0 & 0 & 0 & 0 & 0 & 0 & 0 & 0 & -1 & 0 \\ 0 & 0 & 0 & 0 & \tilde{k}_h & \tilde{k}_h^* & 0 & 0 & 0 & 0 & 0 & 0 \\ 0 & 0 & 0 & k_\omega & 0 & 0 & 0 & 0 & 0 & -k_\omega \operatorname{th}(k_\omega d_S) & 0 & -k_\omega \operatorname{th}(k_\omega d_S) \\ 0 & \operatorname{ch}(\tilde{k}_h d_F) & -\operatorname{ch}(\tilde{k}_h^* d_F) & 0 & \operatorname{sh}(\tilde{k}_h d_F) & -\operatorname{sh}(\tilde{k}_h^* d_F) & 0 & -1 & 1 & 0 & 0 & 0 \\ 0 & \operatorname{ch}(\tilde{k}_h d_F) & \operatorname{ch}(\tilde{k}_h^* d_F) & 0 & \operatorname{sh}(\tilde{k}_h d_F) & \operatorname{sh}(\tilde{k}_h^* d_F) & \sin \alpha & -\cos \alpha & -\cos \alpha & 0 & 0 & 0 \\ \operatorname{ch}(k_\omega d_F) & 0 & 0 & \operatorname{sh}(k_\omega d_F) & 0 & 0 & -\cos \alpha & -\sin \alpha & -\sin \alpha & 0 & 0 & 0 \\ 0 & \tilde{k}_h \operatorname{sh}(\tilde{k}_h d_F) & -\tilde{k}_h^* \operatorname{sh}(\tilde{k}_h^* d_F) & 0 & \tilde{k}_h \operatorname{ch}(\tilde{k}_h d_F) & -\tilde{k}_h^* \operatorname{ch}(\tilde{k}_h^* d_F) & 0 & \tilde{k}_h & -\tilde{k}_h^* & 0 & 0 & 0 \\ 0 & \tilde{k}_h \operatorname{sh}(\tilde{k}_h d_F) & \tilde{k}_h^* \operatorname{sh}(\tilde{k}_h^* d_F) & 0 & \tilde{k}_h \operatorname{ch}(\tilde{k}_h d_F) & \tilde{k}_h^* \operatorname{ch}(\tilde{k}_h^* d_F) & -k_\omega \sin \alpha & \tilde{k}_h \cos \alpha & \tilde{k}_h^* \cos \alpha & 0 & 0 & 0 \\ k_\omega \operatorname{sh}(k_\omega d_F) & 0 & 0 & k_\omega \operatorname{ch}(k_\omega d_F) & 0 & 0 & k_\omega \cos \alpha & \tilde{k}_h \sin \alpha & \tilde{k}_h^* \sin \alpha & 0 & 0 & 0 \end{pmatrix} \begin{pmatrix} C_1 \\ C_2 \\ C_3 \\ S_1 \\ S_2 \\ S_3 \\ E_1 \\ E_2 \\ E_3 \\ A \\ B \end{pmatrix} = \begin{pmatrix} f_0(0) \\ 0 \\ 0 \\ 0 \\ 0 \\ 0 \\ 0 \\ 0 \\ 0 \\ 0 \\ 0 \end{pmatrix}$$

$$W''(0) = \frac{4k_h^2}{k_\omega} e^{-(2k_h+k_\omega)d_F - k_\omega d_S} \cdot \frac{\cosh(k_\omega d_F)}{\cosh(k_\omega d_S)} [\cosh(2k_\omega d_S) + \sinh(2k_\omega d_S) \tanh(k_\omega d_F) + 1] \sin^2(k_h d_F) \geq 0,$$

$$W''(\pi) = \frac{16k_h^2}{k_\omega} e^{-k_\omega d_F - k_\omega d_S} \cdot \frac{\sinh^2(k_h d_F) [\cosh(k_\omega d_F) \cosh(k_\omega d_S) + \sinh(k_\omega d_F) \sinh(k_\omega d_S)] \sin^2(k_h d_F + \frac{\pi}{4})}{[\sinh(2k_h d_F) + \cos(2k_h d_F)]^2} \geq 0.$$

$$W(\alpha) - W(0) = -4k_h b(\alpha) e^{-2k_h d_F},$$

$$b(\alpha) = \frac{\text{numer}}{\text{denom}},$$

$$\begin{aligned} \text{numer} &= \sin \kappa (1 - \cos \alpha) \{ (\sin \kappa - \cos \kappa) \sin^2 \alpha - 2\gamma \cos^2 \alpha [\cos \kappa + (2 \sin \kappa + \cos \kappa) \cos \alpha] \} - \\ &\quad - \{ \sin \kappa \sin^2 \alpha - \gamma \cos^2 \alpha (\sin \kappa + \cos \kappa) (1 - \cos \alpha) \} \{ \sin \kappa - \cos \kappa + (3 \sin \kappa + \cos \kappa) \cos \alpha \}, \end{aligned}$$

$$\begin{aligned} \text{denom} &= \{ \sin \kappa + (\sin \kappa + 2 \cos \kappa) \cos \alpha \} \{ (\cos \kappa - \sin \kappa) \sin^2 \alpha + 2\gamma \cos^2 \alpha [\cos \kappa + (2 \sin \kappa + \cos \kappa) \cos \alpha] \} + \\ &\quad + \{ \sin \kappa - \cos \kappa + (3 \sin \kappa + \cos \kappa) \cos \alpha \} \{ \sin \kappa \sin^2 \alpha + \gamma \cos^2 \alpha [\sin \kappa - \cos \kappa - (\sin \kappa + 3 \cos \kappa) \cos \alpha] \} \end{aligned}$$